

Переверзева К. Г.<sup>1</sup>, Якушин С. С.<sup>1</sup>, Тишкина И. Е.<sup>2</sup>, Никифоров А. А.<sup>1</sup>, Никифорова  $\Lambda$ . В.<sup>1</sup>,  $\Lambda$ аут М. В.<sup>2</sup>  $^{1}$  ФГБОУ ВО «Рязанский государственный медицинский университет им. академика И.П. Павлова» Минздрава РФ, Рязань, Россия  $^{2}$  ГБУ РО «Областной клинический кардиологический диспансер», Рязань, Россия

# Предикторы снижения фракции выброса левого желудочка у пациентов с инфарктом миокарда с подъемом сегмента ST

Цель

Определить предикторы и построить модель прогнозирования фракции выброса ( $\Phi$ B) левого желудочка ( $\Lambda$ Ж) у пациентов с инфарктом миокарда с подъемом сегмента ST ( $\mu$ MnST).

Материал и методы

Проведено регистровое проспективное исследование пациентов с ИМпST, поступивших в первые 24 ч от начала заболевания. Лечение и обследование пациентов проводилось согласно действующим клиническим рекомендациям. Пациентам в первые сутки заболевания определяли уровни стимулирующего фактора роста, пропротеин конвертазы субтилизин-кексин тип 9 (PCSK9), N-концевого натрийуретического пептида про-В-типа (NT-proBNP), высокочувствительных тропонина I и C-реактивного белка. На 10-12-е сутки заболевания повторно определяли уровни NTproBNP, пропротеина конвертазы субтилизин-кексин типа 9 и высокочувствительного тропонина I. Эхокардиография проводилась в первые сутки и на 10-12-е сутки госпитализации, ФВ  $\Lambda Ж$  определялась методом Симпсон. В исследование включено 138 человек, из данной части работы 3 пациента исключены в связи со смертью до проведения повторной эхокардиографии. В зависимости от показателя  $\Phi B \Lambda Ж$  на 10-12-е сутки ИМпST пациенты были разделены на группы: пациенты с сохраненной  $\Phi B \Lambda Ж$  (с $\Phi B \Lambda Ж$ ) –  $\Phi B \Lambda Ж \ge 50\%$  (n=34), пациенты с низкой  $\Phi B \Lambda Ж$  ( $\Phi B \Lambda Ж$ ) –  $\Phi B \Lambda Ж \le 40\%$  (n=21), пациенты с умеренно сниженной  $\Phi B \Lambda Ж$  (ус $\Phi B \Lambda Ж$ ) –  $\Phi B \Lambda Ж$ 

Результаты

Методом порядковой регрессии было определено, что к факторам, влияющим на ФВЛЖ у пациентов с ИМпST, относятся наличие в анамнезе хронической сердечной недостаточности, явления острой сердечной недостаточности II–IV класса по классификации Killip в индексную госпитализацию, формирование расширения и постинфарктной аневризмы  $\Lambda$ Ж, увеличение уровня NTproBNP. На основании полученных оценок параметров регрессии была построена прогностическая модель, показавшая наибольшую чувствительность разработанной модели для прогнозирования нФВ $\Lambda$ Ж – 94,4% и для прогнозирования ус $\Phi$ В $\Lambda$ Ж – 92,9%, меньшую чувствительность для прогнозирования с $\Phi$ В $\Lambda$ Ж – 62,5%.

Заключение

При наличии хронической сердечной недостаточности в анамнезе, явлений острой сердечной недостаточности II–IV класса по классификации Killip, формировании расширения и постинфарктной аневризмы  $\Lambda \mathcal{K}$ , увеличении уровня NTproBNP ожидаются более низкие показатели  $\Phi B \Lambda \mathcal{K}$  у пациентов с ИMпST.

Ключевые слова

Инфаркт миокарда с подъемом сегмента ST; фракция выброса левого желудочка; систолическая дисфункция

Для цитирования

Pereverzeva K.G., Yakushin S.S., Tishkina I.E., Nikiforov A.A., Nikiforova L.V., Laut M.V. Predictors of Left Ventricular Ejection Fraction Decrease in Patients With ST-Segment Elevation Myocardial Infarction. Kardiologiia. 2024;64(12):27–34. [Russian: Переверзева К.Г., Якушин С.С., Тишкина И.Е., Никифоров А.А., Никифорова  $\Lambda$ .В.,  $\Lambda$ аут М.В. Предикторы снижения фракции выброса левого желудочка у пациентов с инфарктом миокарда с подъемом сегмента ST. Кардиология. 2024;64(12):27–34].

Автор для переписки

Тишкина Ирина Евгеньевна. E-mail: irina.tishkina@mail.ru

Раннее проведение чрескожного коронарного вмешательства (ЧКВ) и оптимальная медикаментозная терапия увеличили выживаемость пациентов с инфарктом миокарда с подъемом сегмента ST (ИМпST) [1, 2]. Ограничение зоны инфаркта за счет реперфузионной терапии при ИМпST способствует росту числа пациентов с сохраненной функцией левого желудочка ( $\Lambda$ Ж), но у ряда пациентов, несмотря на проведение реперфузии, развивается систолическая дисфункция  $\Lambda$ Ж. Фракция выброса ( $\Phi$ В)  $\Lambda$ Ж используется для стратификации риска сер-

дечно-сосудистых осложнений у пациентов с инфарктом миокарда (ИМ), низкая ФВЛЖ указывает на повышенный риск сердечно-сосудистой и общей смерти, развитие сердечной недостаточности (СН), нарушений ритма [3]. Развитие СН после ИМ увеличивает риск смерти в два раза [4], а госпитализация по поводу хронической сердечной недостаточности (ХСН) в течение первого года после ИМпЅТ в регистре CREDO-Куото была независимо связана с повышением риска смерти от всех причин на 64% [5].



**Центральная иллюстрация.** Предикторы снижения фракции выброса левого желудочка у пациентов с инфарктом миокарда с подъемом сегмента ST



 $\mbox{ИMnST}$  – инфаркт миокарда с подъемом сегмента ST электрокардиограммы;  $\mbox{KP}$  – клинические рекомендации;  $\mbox{\Lambda}\mbox{Ж}$  – левый желудочек;  $\mbox{H\Phi}\mbox{B}\mbox{M}$  – низкая фракция выброса левого желудочка;  $\mbox{c}\mbox{B}\mbox{D}\mbox{M}$  – умеренно сниженная фракция выброса левого желудочка;  $\mbox{\Phi}\mbox{B}$  — фракция выброса;  $\mbox{XCH}$  – хроническая сердечная недостаточность;  $\mbox{B}\mbox{K}$  – электрокардиограмма;  $\mbox{ЭхоК}\mbox{\Gamma}$  – эхокардиография;  $\mbox{CRP}$  – высокочувствительный белок;  $\mbox{cTnI}$  – высокочувствительный тропонин  $\mbox{I}$ ;  $\mbox{NTproBNP}$  –  $\mbox{N}$ -концевого натрийуретический пептид про- $\mbox{B}$ -типа;  $\mbox{PCSK9}$  – пропротеин конвертаза субтилизин-кексин тип 9;  $\mbox{SST2}$  – стимулирующий фактор роста. \* – статистически значимые различия –  $\mbox{p}$  < 0,05.

Знание факторов, определяющих снижение ФВЛЖ у пациентов с ИМ, позволит выявить больных с высоким риском развития систолической дисфункции ЛЖ, как основной причины развития СН у пациентов с ИМ.

### Цель исследования

Определить предикторы и построить модель прогнозирования ФВЛЖ у пациентов с ИМпST.

### Материал и методы

Проведено проспективное регистровое исследование пациентов с ИМпST, поступивших в первые 24 ч от начала клинической картины в инфарктное отделение клинической базы университета. Критерии невключения: перенесенный ИМ; ИМ 4 и 5 типов; наличие клинически значимой сопутствующей патологии (активные онкологические заболевания, тяжелая печеночная недостаточность, хроническая болезнь почек 5 стадии, психические заболевания); отсутствие подписанной формы добровольного информированного согласия.

Лечение и обследование пациентов проводилось согласно действующим клиническим рекомендациям Министерства здравоохранения Российской Федерации (2020 г.) «Острый инфаркт миокарда с подъемом сегмента ST электрокардиограммы» [6]. Пациентам в первые сутки заболевания были определены уровни стимулирующего фактора роста (sST2), пропротеина конвертазы субтилизин-кексин типа 9 (PCSK9), N-концевого натрийуретического пептида про-В-типа (NTproBNP), высокочувствительного тропонина I (сTnI) и высокочувствительного С-реактивного белка (СRP) методом имму-

ноферментного анализа. На 10–12-е сутки заболевания повторно определены уровни NTproBNP, PCSK9 и сTnI. Эхокардиография (ЭхоКГ) проводилась пациентам в первые сутки и на 10–12-е сутки госпитализации, ФВЛЖ определялась методом Симпсона. Аневризма левого желудочка определялась как истонченный сегмент миокарда с дискинезией во время диастолы и систолы с патологическим контуром во время диастолы. Нарушение формы

**Таблица 1.** Клинико-демографическая характеристика и сопутствующая патология у пациентов исследуемых групп

Показа- тель	нФВ, n=21	усФВ, n=80	сФВ, n=34	p
Возраст, лет	64 [61; 73]	64 [54; 67]	62 [54; 69]	0,063
Мужчины, n (%)	11 (52,4)	54 (67,5)	20 (58,8)	0,374
ИМТ, кг/м <sup>2</sup>	29,4 [24,7; 31,2]	28,3 [25,1; 31,7]	28,7 [26,6; 30,8]	0,946
ГБ, п (%)	17 (81,0)	58 (73,4)	25 (75,8)	0,774
ИБС, n (%)	10 (47,6)	32 (40,5)	12 (35,3)	0,663
ΦΠ, n (%)	2 (9,5)	4 (5,0)	0 (0,0)	0,233
СД, п (%)	8 (38,1)	18 (22,5)	7 (20,6)	0,348
XCH, n (%)	8 (38,1)	9 (11,2)	2 (5,9)	0,002*; р нФВ – усФВ = 0,008; р нФВ – сФВ = 0,008

Данные представлены в виде медианы и интерквартильного размаха – Ме [Q1;Q3], числа пациентов – n (%);  $\Gamma B$  – гипертоническая болезнь, UBC – ишемическая болезнь сердца, UMT – индекс массы тела,  $C\Delta$  – сахарный диабет, XCH – хроническая сердечная недостаточность,  $\Phi\Pi$  – фибрилляция предсердий;

<sup>\*</sup> – статистически значимые различия – р <0,05.



Таблица 2. Данные инструментальных методов исследования и проводимой реперфузионной терапии

Показатель	нФВЛЖ, n=21	усФВАЖ, n=80	сФВАЖ, n=34	p
ЧСС, уд. в мин	80 [70; 96]	79 [70; 86]	70 [63; 78]	$<0,001^*$ ; pCHc $\Phi$ B – CH $\Phi$ B = 0,005; pCHc $\Phi$ B – CHyc $\Phi$ B = 0,002
Q-ИМ, n(%)	21 (100,0)	74 (92,5)	27 (79,4)	0,025*
Передняя локализация ИМ, п (%)	14 (66,7)	40 (49,3)	13 (38,1)	0,171
ΤΛΤ, n (%)	9 (42,9)	34 (42,5)	12 (35,3)	0,756
Время до ТАТ, ч	2,0 [2,0; 4,0]	2,0 [1,5; 3,0]	3,0 [1,5; 5,5]	0,684
ЧКВ, n (%)	18 (85,7)	77 (96,2)	33 (97,1)	0,121
Время до ЧКВ, ч	8,0 [4,5; 10,0]	6,5 [4,0; 8,6]	5,5 [4,1; 10,8]	0,558
TIMI 0-2, n (%)	7 (35,0)	13 (16,5)	3 (9,1)	0,051
Killip II-IV, n (%)	9 (42,9)	15 (18,8)	4 (11,8)	$0.017^*$ ; р н $\Phi$ B – ус $\Phi$ B = $0.042$ : р н $\Phi$ B – с $\Phi$ B = $0.025$
Подъем сегмента ST, мм	2,0 [2,0; 5,0]	2,0 [2,0; 3,0]	2,0 [1,0; 2,0]	$0,020^*$ ; р с $\Phi$ B – н $\Phi$ B = $0,040$ ; р с $\Phi$ B – ус $\Phi$ B = $0,040$
ФВАЖ в 1-е сутки, %	38 [35; 41]	46 [42; 46]	50 [46; 53]	< 0,001*; р усФВ – нФВ< 0,001 р сФВ – нФВ< 0,001; р сФВ – усФВ< 0,001
Наличие расширения $\Lambda \mathcal{K}/$ аневризмы $\Lambda \mathcal{K}$ , $n(\%)$	13 (61,9)	11 (13,8)	1 (2,9)	< 0,001*; р нФВ – усФВ< 0,001; р нФВ – сФВ< 0,001
ФП впервые, п (%)	6 (28,6)	13 (16,2)	2 (5,9)	0,076
ХСН при выписке, п (%)	21 (100,0)	71 (88,8)	21 (61,8)	$< 0.001^*$ ; P H $\Phi$ B – c $\Phi$ B = 0.003; P yc $\Phi$ B – c $\Phi$ B = 0.003

Данные представлены в виде медианы и интерквартильного размаха – Me [Q1;Q3], числа пациентов – n (%);

 $\Delta A \Delta$  – диастолическое артериальное давление, MM – инфаркт миокарда,  $\Lambda X$  – левый желудочек,  $CA \Delta$  – систолическое артериальное давление,  $T\Lambda T$  – тромболитическая терапия;  $\Phi B$  – фракция выброса,  $\Phi \Pi$  – фибрилляция предсердий; XCH – хроническая сердечная недостаточность,  $\Psi KB$  – чрескожное коронарное вмешательство,  $\Psi CC$  – частота сердечных сокращений,  $\Psi B C$  – электрокардиография,  $\Psi B C$  –  $\Psi B$ 

Таблица 3. Показатели лабораторных методов исследования и биомаркеров

Показатель	нФВ <b>ЛЖ</b> , n=21	усФВЛЖ, n=80	сФВ <b>ЛЖ</b> , n=34	p
Время до забора крови, ч	15,0 [10,0; 18,0]	18,0 [12,0; 21,0]	16,2 [10,8; 20,2]	0,374
$\Lambda$ ейкоциты, $10^9/\Lambda$	11,2 [8,7; 14,7]	11,6 [10,3; 14,6]	12,2 [9,0; 16,3]	0,872
КФК-МВ 1-е сутки, Е/л	158,0 [65,8; 329,1]	138,0 [41,5; 253,0]	67,5 [22,2; 122,5]	$0,003^*$ ; р с $\Phi$ B – н $\Phi$ B = 0,007; р с $\Phi$ B – ус $\Phi$ B = 0,007
КФК-МВ 2-е сутки, Е/л	219,0 [120,9; 333,0]	154,9 [74,5; 255,2]	70,1 [46,9; 160,0]	$<0.001^*$ ; р с $\Phi$ В – н $\Phi$ В = 0.002; р с $\Phi$ В – ус $\Phi$ В = 0.004
рСКФ 1-е сутки, мл/мин/1,73м <sup>2</sup>	69,4 [52,0; 89,9]	80,4 [63,8; 95,0]	76,1 [61,7; 95,7]	0,139
рСКФ 2-е сутки, мл/мин/1,73м <sup>2</sup>	70,0 [47,0; 72,0]	73,0 [55,4; 84,2]	74,4 [64,4; 87,5]	0,048*; р сФВ – нФВ = 0,045
CRP#, нг/мл	1562,8 [1190,0; 1860,2]	1290,0 [693,0; 2046,2]	799,5 [412,2; 1327,1]	0,164
NTproBNP# 1-е сутки, пг/мл	917,9 [714,2; 1390,8]	542,3 [232,8; 737,5]	485,7 [246,0; 663,4]	$0,007^*$ ; р ус $\Phi B - H\Phi B = 0,010$ ; р с $\Phi B - H\Phi B = 0,015$
sST2#, нг/мл	4,8 [2,5; 8,5]	2,3 [1,4; 5,4]	1,7 [1,4; 2,4]	0,020*; р сФВ – нФВ = 0,020
PCSK9#, нг/мл	0,5 [0,4; 0,7]	0,5 [0,4; 0,6]	0,6 [0,5; 0,7]	0,217
cTnI# 1-е сутки, нг/л	101,3 [44,1; 140,0]	65,7 [34,4; 139,6]	7,5 [2,8; 59,8]	$0,006^*$ ; р с $\Phi$ B – н $\Phi$ B = 0,007; р с $\Phi$ B – ус $\Phi$ B = 0,015
NTproBNP# 10-12-е сутки, пг/мл	1048,0 [901,5; 1332,5]	415,9 [200,0; 674,3]	85,7 [29,1; 368,9]	$< 0.001^*$ ; р ус $\Phi B$ – $H\Phi B < 0.001$ ; р с $\Phi B$ – $H\Phi B < 0.001$ ; р с $\Phi B$ – ус $\Phi B$ = 0.012
cTn I# 10-12-е сутки, нг/л	0,3 [0,1; 0,6]	0,3 [0,1; 0,6]	0,2 [0,1; 0,3]	0,392
PCSK9# 10-12-е сутки, нг/мл	0,3 [0,3; 0,4]	0,3 [0,2; 0,3]	0,3 [0,2; 0,5]	0,128

 $\Lambda X$  во время систолы и потеря им эллипсовидной формы расценивались как расширение полости  $\Lambda X$  [7].

Статистический анализ проводился с использованием программы SPSS Statistica 26, StatTech v. 3.1.8. Количественные данные описывались с помощью медианы (Ме), нижнего и верхнего квартилей [Q1; Q3]. Категориаль-

ные данные описывались с указанием абсолютных значений и процентных долей. Сравнение трех и более групп по количественному показателю, распределение которого отличалось от нормального, выполнялось с помощью критерия Краскела–Уоллиса, апостериорные сравнения – с помощью критерия Данна с поправкой Холма. Срав-



нение процентных долей при анализе многопольных таблиц сопряженности выполнялось с помощью критерия хи-квадрат Пирсона. Для определения предикторов и построения прогностической модели  $\Phi B\Lambda \mathcal{K}$  использовался метод порядковой регрессии. Различия считались статистически значимыми при р <0,05.

Исследование одобрено локальным этическим комитетом Университета 16.09.2022. Для участия в исследовании пациенты подписывали форму добровольного информированного согласия.

В исследование включено 138 пациентов, в данную часть работы – 135 пациентов, так как за время госпитализации до 10-12 суток умерло 3 пациента, они были исключены из части работы, посвященной анализу  $\Phi$ В $\Lambda$ Ж. Уровень биомаркеров был определен в группе из 80 пациентов.

# Ограничения исследования

Исследование ограничено малой выборкой пациентов. У пациентов с диагнозом ХСН в анамнезе исходная ФВЛЖ была неизвестна и считалась более 50%.

### Результаты

По показателю ФВЛЖ на 10–12-е сутки все пациенты были разделены на 3 группы. Пациенты с ФВЛЖ  $\geq$ 50% (n=34) относились к группе с сохраненной ФВЛЖ (сФВЛЖ). Пациенты с ФВЛЖ  $\leq$ 40% (n=21) относились к группе пациентов с низкой ФВЛЖ (нФВЛЖ). Пациенты с ФВЛЖ 41–49% (n=80) составили группу пациентов с умеренно сниженной ФВЛЖ (усФВЛЖ).

Статистический анализ показал, что пациенты в исследуемых группах различались по наличию в анамнезе ХСН (табл. 1).

ЧКВ было проведено 128 (94,8%) пациентам. Различий в частоте проведения ЧКВ, времени до проведения ЧКВ и его эффективности, оцениваемой по кровотоку в инфаркт-зависимой коронарной артерии (ИКА), между исследуемыми группами получено не было. Все пациенты с нФВЛЖ имели Q-ИМ, на ЭКГ при поступлении у них регистрировался более выраженный подъем сегмента ST, различий в локализации ИМ между исследуемыми группами не получено. При поступлении у пациентов с нФВЛЖ чаще отмечались явления острой сердечной недостаточности (OCH) II–IV класса по классификации Killip. По данным ЭхоКГ группы различались по величине ФВЛЖ в первые сутки госпитализации, пациенты с нФВЛЖ чаще имели расширение полости ЛЖ к верхушке или аневризму ЛЖ. При выписке всем пациентам с нФВЛЖ был выставлен диагноз ХСН, за время госпитализации у них чаще впервые регистрировалась фибрилляция предсердий (табл. 2).

Анализ лабораторных показателей выявил более высокий уровень cTnI, MB фракции креатинфосфокиназы,

Таблица 4. Проводимая лекарственная терапия

Показатель	нФВАЖ, n=21	усФВЛЖ, n=80	сФВАЖ, n=34	p
Ингибиторы Р2Ү12рецепторов тромбоцитов, n (%)	21 (100,0)	80 (100,0)	34 (100,0)	-
ACK, n (%)	21 (100,0)	77 (96,2)	34 (100,0)	0,348
иАПФ, n (%)	20 (95,2)	75 (93,8)	33 (97,1)	0,763
БРА, n (%)	1 (4,8)	5 (6,2)	1 (2,9)	0,763
Б-АБ, п (%)	19 (90,5)	70 (87,5)	32 (94,1)	0,565
Статины, n (%)	20 (95,2)	79 (98,8)	34 (100,0)	0,352
AMKP, n (%)	20 (95,2)	22 (27,5)	1 (2,9)	<0,001*; p HΦB - ycΦB <0,001 p HΦB - cΦB < 0,001; p ycΦB - cΦB = 0,003
иНГЛТ2, n(%)	15 (71,4)	15 (18,8)	4 (11,8)	<0,001*; р нФВ – усФВ <0,001; р нФВ – сФВ< 0,001
Торасемид, п (%)	8 (38,1)	8 (10,03)	2 (5,9)	0,001*; р нФВ – усФВ = 0,005; р нФВ – сФВ = 0,005

Данные представлены в виде числа пациентов – n (%); АМКР – антагонисты минералокортикоидных рецепторов; АСК – ацетилсалициловая кислота; Б-АБ – бета-адреноблокаторы; БРА – блокаторы рецепторов ангиотензина II; иАПФ – ингибиторы ангиотензинпревращающего фермента; иНГЛТ-2 – ингибиторы натрий-глюкозного котранспортера 2-го типа; \* – статистически значимые различия – p <0,05.

Таблица 5. Пороговые оценки параметров регрессии

Значения зависимой переменной	Оценка	p
нФВЛЖ	22,973	0,022*
усФВЛЖ	38,526	0,006*

 ${\rm H}\Phi{\rm B}\Lambda{\rm M}$  – низкая фракция выброса левого желудочка; ус ${\rm \Phi}{\rm B}\Lambda{\rm M}$  – умеренно сниженная фракция выброса левого желудочка; \* – статистически значимые различия – р <0,05.

**Таблица 6.** Влияние факторов на фракцию выброса левого желудочка

Фактор	Категория		95% ДИ	p
Killip II-IV	есть	-3,814	-7,598; -0,030	0,048*
класса	нет	0		
ХСН в анамнезе	Есть	-7,264	-12,841; -1,686	0,011*
	нет	0		
Расшире- ние/анев- ризма ЛЖ	да	-4,329	-8,329; -0,329	0,034*
	нет	0		
ФВАЖ в 1 сутки, %		1,003	0,325; 1,682	0,004*
NTproBNP 10-12-е сутки		-0,002	-0,009; -0,0002	0,005*
ADAM 1				

ФВЛЖ – фракция выброса левого желудочка; XCH – хроническая сердечная недостаточность; NTproBNP – N-концевой натрийуретический пептид про-B-типа; \* – статистически значимые различия – р <0,05.



пациентов **не достигают** целевых показателей ХС ЛНП<sup>1-3</sup>



# Снижение холестерина вносит наибольший вклад\* В СНИЖЕНИЕ СМЕРТНОСТИ ОТ ССЗ4

Информация предназначена исключительно для работников здравоохранения.

AO «Санофи Россия» 125009, Россия, Москва, ул. Тверская, д. 22 Тел.: +7 (495) 721-14-00 www.sanofi.ru

<sup>\*</sup> По сравнению с коррекцией других факторов СС-риска в популяции взрослых людей в возрасте от 25 до 84 лет в США.

<sup>1.</sup> Ежов М.В. и др. Диагностика и коррекция нарушений липидного обмена с целью профилактики и лечения атеросклероза // Российские рекомендации, VII пересмотр. Атеросклероз и дислипидемии. 2020. 2. Руководство ESC/EAS по лечению дислипидемий: модификация липидов для снижения сердечно-сосудистого риска (European Heart Journal. 2019 – DOI: 10.1093/eurheartj/ehz455). 3. Де Бакер Г. и др. Управление дислипидемией у пациентов с ишемической болезнью сердца: результаты исследования EUROASPIRE V в 27 странах. Atherosclerosis. 2019 Jun.; 285: 135–146. DOI: 10.1016/j.atherosclerosis.2019.03.014. 4. Форд Е.С., Аджани Ю.А, Крофт Д.Б, Критчлей Д.А, Лабарт Д.Р, Коттке Т.Е., Джилс В.Х., Кейпвелл С. Объяснение снижения смертности в США от ишемической болезни сердца, 1980–2000. Мед. ж. Нов. Англ. 2007 Июнь 7; 356 (23): 2388–98. DOI: 10.1056/NEJMsa053935. PMID:17554120.



NTproBNP и sST2 в первые сутки заболевания у пациентов с нФВ $\Lambda$ Ж. На 10–12-е сутки у пациентов с нФВ $\Lambda$ Ж сохранялся высокий уровень NTproBNP, в группе пациентов с сФВ $\Lambda$ Ж данный показатель значительно снизился. На вторые сутки заболевания пациенты с нФВ $\Lambda$ Ж имели более низкий показатель расчетной скорости клубочковой фильтрации (рСКФ) (табл. 3).

Анализ проводимой терапии не выявил различий в частоте назначения ингибиторов ангиотензинпревращающего фермента/блокаторов рецепторов ангиотензина, блокаторов Р2У12-рецепторов тромбоцитов, бета-адреноблокаторов, ацетилсалициловой кислоты и статинов. Исследуемые группы отличались по частоте назначения антагонистов минералокортикоидных рецепторов, ингибиторов натрий-глюкозного котранспортера 2-го типа (иНГЛТ2) и петлевых диуретиков (торасемида) (табл. 4). Проводимая лекарственная терапия нами не учитывалась при построении прогностической модели в связи с малой длительностью ее проведения.

Для определения предикторов снижения  $\Phi$ ВЛЖ и построения прогностической модели использовался метод порядковой регрессии. Поиск предикторов изначально проводился среди факторов, показавших различия в исследуемых группах. При пороговой оценке параметров регрессии статистической значимости не получено (н $\Phi$ ВЛЖ р=0,252; ус $\Phi$ ВЛЖ р=0,016).

Затем была построена модель, в которую были дополнительно включены такие факторы, как локализация ИМ и кровоток по ИКА после проведенного ЧКВ, показатель эффективности проведенной реперфузионной терапии, уровень СRР и лейкоцитов. При пороговой оценке параметров регрессии достигнута статистическая значимость (табл. 5).

Значимость вклада отобранных факторов в улучшение прогнозов оценивалась с помощью разности отрицательных значений удвоенного логарифма функции правдоподобия (-2LL), измеренного до включения факторов (-2LL = 151,531) и после включения (-2LL = 0,041), что соответствовало критерию  $\chi^2 = 151,490$  и свидетельствовало о статистически значимом улучшении точности прогнозов (p<0,001). В результате сопоставления ожидаемых и наблюдаемых частот отдельных значений зависимой переменной с помощью критерия согласия Пирсона была установлена высокая степень приближения, различия частот оказались статистически не значимыми (p=1,0). В соответствии со значением критерия псевдо-R2 Найджелкерка факторы, вошедшие в модель, объясняли 100% дисперсии зависимой переменной. Метод ранговой корреляции Спирмена установил между ожидаемыми и наблюдаемыми значениями ФВЛЖ статистически значимую корреляционную связь высокой тесноты ( $\rho$ =0,848; p<0,001). Чувствительность разработанной модели для прогнозирования нФВЛЖ составила 94,4%, для прогнозирования ус $\Phi$ В $\Lambda$ Ж 92,9% и 62,5% – для прогнозирования с $\Phi$ В $\Lambda$ Ж. Влияние факторов на  $\Phi$ В $\Lambda$ Ж представлено в таблице 6.

К факторам, прогнозирующим снижение ФВЛЖ после ИМпST относятся наличие в анамнезе ХСН, явлений ОСН II–IV класса по классификации Killip, формирование постинфарктной аневризмы  $\Lambda$ Ж и расширения  $\Lambda$ Ж по данным ЭхоКГ, уровень NTproBNP на 10–12-е сутки и ФВ $\Lambda$ Ж, определенная в первые сутки госпитализации. При этом большие значения ФВ $\Lambda$ Ж в первые сутки госпитализации позволяют ожидать большие значения ФВ $\Lambda$ Ж к 10–12-м суткам госпитализации.

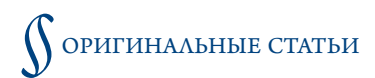
# Обсуждение

По данным проведенного исследования 25,2% пациентов при выписке имели сФВЛЖ, 59,2% усФВЛЖ, 15,6% нФВЛЖ. Таким образом, 74,8% пациентов на момент выписки из стационара имели систолическую дисфункцию ЛЖ. Полученные данные отличаются от данных других авторов по частоте развития систолической дисфункции ЛЖ при ИМ за счет большего числа пациентов с усФВЛЖ. В исследовании Wohlfahrt P et al. (2022) систолическую дисфункцию ЛЖ на момент госпитализации имели 52,9% пациентов с ИМ (65,4% из них с ИМпST): 22,3% нФВЛЖ и 30,6% усФВЛЖ [8]. В работе Lenselink C. et al. (2024) у 54,9% пациентов с ИМпST была систолическая дисфункция ЛЖ: 19,3% пациентов имели нФВЛЖ и 35,9% усФВЛЖ [9].

Для прогнозирования снижения ФВЛЖ нами была построена прогностическая модель, включающая в себя факторы, показавшие значимые различия в исследуемых группах, и дополненная следующими показателями: кровоток в ИКА по классификации ТІМІ, как свидетельство эффективности проведенного ЧКВ, локализация ИМ, уровень лейкоцитов и СRР.

Выбор определяемых биомаркеров был обусловлен следующими причинами. Во многих исследованиях была установлена взаимосвязь между уровнями сТпІ, NТргоВNР, СRР и развитием СН, ремоделированием ЛЖ у больных с ИМ, кроме того, данные биомаркеры являются доступными в повседневной медицинской практике. sST2 — относительно новый биомаркер, позволяющий прогнозировать развитие СН с большей чувствительностью и специфичностью, чем NТргоВNР. Основная роль PCSK9 — участие в липидном обмене, однако работы последних лет показали взаимосвязь между уровнем PCSK9 и ремоделированием ЛЖ после ИМ.

Сокращение передней стенки  $\Lambda \mathcal{K}$  вносит наибольший вклад в систолическую функцию  $\Lambda \mathcal{K}$ . Передняя локализация UM является предиктором снижения  $\Phi B$  менее 40%, развития CH, патологического ремоделирования  $\Lambda \mathcal{K}$  и формирования аневризмы  $\Lambda \mathcal{K}$  [8, 10, 11].



Преобладание воспалительной реакции при ИМ способствует гибели и нарушению функции выживших кардиомиоцитов, разрушению интерстициальной ткани, препятствует формированию рубца, следствием чего является патологическое ремоделироване ЛЖ и снижение ФВ [12]. Выраженный лейкоцитоз и повышение уровня CRP указывают на степень воспалительной реакции. В исследовании Kologrivova I. et al. (2021) показано, что уровень CRP отрицательно коррелирует с ФВЛЖ на 7-9-й день и через 12 месяцев после ИМпST, а высокий уровень CRP в первые сутки ИМ предсказывает развитие СН после ИМ [13]. В данной работе группы пациентов не различались по уровню лейкоцитов при поступлении и имели повышенный уровень CRP. Наибольшее повышение CRP отмечалось у пациентов с нФВ, но статистической значимости различия показателя не достигли. Наибольшее повышение CRP отмечалось у пациентов с нФВ, но статистической значимости также не было достигнуто. Тем не менее использование данных об уровне лейкоцитов и уровне CRP позволило улучшить предсказательную функцию полученной нами модели.

Кровоток ТІМІ 0–2 наблюдается у 25% пациентов с ИМпST, подвергнутых первичному ЧКВ [14]. В данной работе кровоток ТІМІ 0–2 чаще отмечался у пациентов с нФВЛЖ – у 35% пациентов, в группе усФВ ЛЖ – у 16,5%, в группе с сФВЛЖ – у 9,1% пациентов. Снижение кровотока в ИКА связано с увеличением размера ИМ, снижением ФВЛЖ, развитием неблагоприятного ремоделирования ЛЖ, повышенным риском развития СН, нарушений ритма, смерти, механических осложнений ИМ [15].

По данным исследований CORONA и I-Preserve, 3–4% пациентов с XCH госпитализируются по причине ИМ [16]. Пациенты с XCH после развития ИМ имеют высокий риск сердечно-сосудистой смерти, независимо от ФВЛЖ, и госпитализации по поводу декомпенсации XCH. В проведенной работе группы различались по наличию предшествующей XCH в анамнезе, а наличие в анамнезе XCH было связано с более низким показателем ФВЛЖ у больных с ИМпST.

NTproBNP – биомаркер, используемый в диагностике XCH, оценке эффективности ее терапии, стратификации риска у больных CH. Повышенный уровень NTproBNP в острую стадию ИМ указывает на риск дисфункции  $\Lambda \mathcal{K}$ , CH, формирования аневризмы  $\Lambda \mathcal{K}$  и смерти [17, 18].

sST2 позволяет прогнозировать развитие ремоделирования  $\Lambda \mathcal{K}$  с большей чувствительностью и специфичностью по сравнению с NTproBNP, уровень sST2 является независимым предиктором снижения  $\Phi B \Lambda \mathcal{K}$ , увеличения конечного систолического объема  $\Lambda \mathcal{K}$  и размера ИМ [19]. В проведенной работе группы пациентов различались по уровню NTproBNP и sST2, наибольший

их уровень имели пациенты с н $\Phi$ В $\Lambda$ Ж, но при определении предикторов связь с  $\Phi$ В $\Lambda$ Ж была установлена только для NTproBNP.

Класс Killip используется для оценки тяжести ОСН у больных с ИМпST. 42,9% пациентов с нФВЛЖ имели явления ОСН II–IV класса по классификации Killip, что в 3,6 раза чаще, чем в группе пациентов с сФВЛЖ. Многочисленные исследования подтвердили тесную связь между более высоким классом Killip и снижением ФВЛЖ у пациентов с ИМпST [20, 21].

Выявление предикторов снижения ФВЛЖ у пациентов с ИМ по-прежнему является актуальной задачей. В настоящее время медицина обладает большим арсеналом средств модификации факторов риска развития ХСН у таких больных с ИМ. Раннее восстановление адекватного коронарного кровотока способствует ограничению зоны инфаркта, сохранению систолической функции ЛЖ, уменьшению патологического ремоделирования ЛЖ и вероятности формирования аневризмы ЛЖ. Это может быть достигнуто путем четкого соблюдения клинических рекомендаций по проведению реперфузионной терапии пациентам с ИМпST, использованием ингибиторов IIb/IIIa-рецепторов тромбоцитов при кровотоке TIMI <3 в инфаркт-зависимой коронарной артерии, эффективных ингибиторов Р2Ү12-рецепторов тромбоцитов, назначением адекватных доз ингибиторов ангиотензинпревращающего фермента, бета-адреноблокаторов, статинов, антагонистов минералокортикоидных рецепторов. В последние годы исследуется эффективность и безопасность применения иНГЛТ2 и сакубитрил/валсартана у пациентов с ИМ. Представленные результаты исследований [22, 23] показали ряд преимуществ назначения данных препаратов. Возможно, что выявление факторов, оказывающих влияние на ФВЛЖ и СН у пациентов с ИМ позволит выявить пациентов, которым назначение данных препаратов принесет наибольшую пользу.

#### Выводы

Предикторами снижения  $\Phi B \Lambda \mathcal{K}$  у пациентов с ИМпST являются наличие XCH в анамнезе, явления ОСН II–IV класса по классификации Killip, формирование расширения и постинфарктной аневризмы  $\Lambda \mathcal{K}$ , увеличение уровня NTproBNP.

## Перспективы дальнейших исследований

В дальнейшем планируется оценка ФВЛЖ у пациентов через год после ИМпST, выявление пациентов с улучшенной ФВЛЖ, патологическим ремоделированием  $\Lambda$ Ж, развитием аневризмы  $\Lambda$ Ж и определение предикторов их развития.

Конфликт интересов не заявлен.

Статья поступила 11.07.2024



### СПИСОК ЛИТЕРАТУРЫ

- Parshikova E.N., Filippov E.V. Mortality from all causes in patients with myocardial infarction with elevation of st segment depending on the type of reperfusion therapy (data of Ryazan region, 2018-2020). I.P. Pavlov Russian Medical Biological Herald. 2020;28(4):479–87. [Russian: Паршикова Е.Н., Филиппов Е.В. Смертность от всех причин у пациентов с инфарктом миокарда с подъемом сегмента ST в зависимости от типа реперфузионной терапии (данные Рязанской области, 2018-2020 гг.). Российский медико-биологический вестник им. академика И.П. Павлова. 2020;28(4):479-87]. DOI: 10.23888/PAVLOVJ2020284479-487
- Yakushin S.S., Filippov E.V. Analysis of mortality rate from diseases of circulatory system and cardiovascular diseases in the Ryazan region in the period 2012-2016. Eruditio Juvenium. 2018;6(3):448–61. [Russian: Якушин С.С., Филиппов Е.В. Анализ смертности от болезней системы кровообращения и сердечно-сосудистой заболеваемости в Рязанской области за период 2012-2016 гг. Наука молодых. 2018;6(3):448-61]. DOI: 10.23888/HMJ201863448-461
- Choi Y, Lee KY, Kim SH, Kim KA, Hwang B-H, Choo EH et al. Predictors for early cardiac death after discharge from successfully treated acute myocardial infarction. Frontiers in Medicine. 2023;10:1165400. DOI: 10.3389/fmed.2023.1165400
- 4. Desta L, Jernberg T, Löfman I, Hofman-Bang C, Hagerman I, Spaak J et al. Incidence, Temporal Trends, and Prognostic Impact of Heart Failure Complicating Acute Myocardial Infarction. The SWEDE-HEART Registry (Swedish Web-System for Enhancement and Development of Evidence-Based Care in Heart Disease Evaluated According to Recommended Therapies): a study of 199,851 patients admitted with index acute myocardial infarctions, 1996 to 2008. JACC: Heart Failure. 2015;3(3):234–42. DOI: 10.1016/j.jchf.2014.10.007
- Taniguchi T, Shiomi H, Morimoto T, Watanabe H, Ono K, Shizuta S et al. Incidence and Prognostic Impact of Heart Failure Hospitalization During Follow-Up After Primary Percutaneous Coronary Intervention in ST-Segment Elevation Myocardial Infarction. The American Journal of Cardiology. 2017;119(11):1729–39. DOI: 10.1016/j. amjcard.2017.03.013
- 6. Averkov O.V., Duplyakov D.V., Gilyarov M.Yu., Novikova N.A., Shakhnovich R.M., Yakovlev A.N. et al. 2020 Clinical practice guidelines for Acute ST-segment elevation myocardial infarction. Russian Journal of Cardiology. 2020;25(11):251–310. [Russian: Аверков О.В., Дупляков Д.В., Гиляров М.Ю., Новикова Н.А., Шахнович Р.М., Яковлев А.Н. и др. Острый инфаркт миокарда с подъемом сегмента ST электрокардиограммы. Клинические рекомендации 2020. Российский кардиологический журнал. 2020;25(11):251-310]. DOI: 10.15829/29/1560-4071-2020-4103
- 7. Otto C.M. Clinical echocardiography: a practical guide. -М.: Logosfera;2019. 1352 р. [Russian: Отто К.М. Клиническая эхокардиография: практическое руководство. (пер. с англ.) М.: Логосфера, 2019. 1352c]. ISBN 978-5-98657-064-8
- Wohlfahrt P, Jenča D, Melenovský V, Šramko M, Kotrč M, Želízko M et al. Trajectories and determinants of left ventricular ejection fraction after the first myocardial infarction in the current era of primary coronary interventions. Frontiers in Cardiovascular Medicine. 2022;9:1051995. DOI: 10.3389/fcvm.2022.1051995
- Lenselink C, Ricken KWLM, Groot HE, De Bruijne TJ, Hendriks T, Van Der Harst P et al. Incidence and predictors of heart failure with reduced and preserved ejection fraction after ST-elevation myocardial infarction in the contemporary era of early percutaneous coronary intervention. European Journal of Heart Failure. 2024;26(5):1142–9. DOI: 10.1002/ejhf.3225
- Zhang Z, Guo J. Predictive risk factors of early onset left ventricular aneurysm formation in patients with acute ST-elevation myocardial infarction. Heart & Lung. 2020;49(1):80–5. DOI: 10.1016/j. hrtlng.2019.09.005

- Liang J, Zhang Z. Predictors of in-hospital heart failure in patients with acute anterior wall ST-segment elevation myocardial infarction. International Journal of Cardiology. 2023;375:104–9. DOI: 10.1016/j. ijcard.2023.01.002
- 12. Westman PC, Lipinski MJ, Luger D, Waksman R, Bonow RO, Wu E et al. Inflammation as a Driver of Adverse Left Ventricular Remodeling After Acute Myocardial Infarction. Journal of the American College of Cardiology. 2016;67(17):2050–60. DOI: 10.1016/j. jacc.2016.01.073
- Kologrivova I, Shtatolkina M, Suslova T, Ryabov V. Cells of the Immune System in Cardiac Remodeling: Main Players in Resolution of Inflammation and Repair After Myocardial Infarction. Frontiers in Immunology. 2021;12:664457. DOI: 10.3389/fimmu.2021.664457
- Mazhar J, Mashicharan M, Farshid A. Predictors and outcome of noreflow post primary percutaneous coronary intervention for ST elevation myocardial infarction. IJC Heart & Vasculature. 2016;10:8–12. DOI: 10.1016/j.ijcha.2015.11.002
- Rezkalla SH, Stankowski RV, Hanna J, Kloner RA. Management of No-Reflow Phenomenon in the Catheterization Laboratory. JACC: Cardiovascular Interventions. 2017;10(3):215–23. DOI: 10.1016/j. jcin.2016.11.059
- 16. Kristensen SL, Jhund PS, Køber L, Preiss D, Kjekshus J, McKelvie RS et al. Comparison of outcomes after hospitalization for worsening heart failure, myocardial infarction, and stroke in patients with heart failure and reduced and preserved ejection fraction. European Journal of Heart Failure. 2015;17(2):169–76. DOI: 10.1002/ejhf.211
- 17. Omland T, Persson A, Ng L, O'Brien R, Karlsson T, Herlitz J et al. N-Terminal Pro-B–Type Natriuretic Peptide and Long-Term Mortality in Acute Coronary Syndromes. Circulation. 2002;106(23):2913–8. DOI: 10.1161/01.CIR.0000041661.63285.AE
- 18. Celebi S, Celebi OO, Cetin S, Cetin HO, Tek M, Gokaslan S et al. The Usefulness of Admission Plasma NT-pro BNP Level to Predict Left Ventricular Aneurysm Formation after Acute ST-Segment Elevation Myocardial Infarction. Arquivos Brasileiros de Cardiologia. 2022;113(6):1129–37. DOI: 10.5935/abc.20190226
- Dyleva Yu.A., Gruzdeva O.V., Akbasheva O.E., Uchasova E.G., Fedorova N.V., Chernobay A.G. et al. Significance of stimulating growth factor ST2 and NT-proBNP in assessment of postinfarction remodeling of the heart. Russian Journal of Cardiology. 2015;20(12):63–71. [Russian: Дылева Ю.А., Груздева О.В., Акбашева О.Е., Учасова Е.Г., Федерова Н.В., Чернобай А.Г. и др. Значение стимулирующего фактора роста ST2 и NТ-ргоВNР в оценке постинфарктного ремоделирования сердца. Российский кардиологический журнал. 2015;20(12):63–71]. DOI: 10.15829/1560-4071-2015-12-63-71
- Bordejevic DA, Pârvănescu T, Petrescu L, Mornoş C, Olariu I, Crişan S et al. Left Ventricular Remodeling Risk Predicted by Two-Dimensional Speckle Tracking Echocardiography in Acute Myocardial Infarction Patients with Midrange or Preserved Ejection Fraction in Western Romania. Therapeutics and Clinical Risk Management. 2021;17:249–58. DOI: 10.2147/TCRM.S295251
- Liu S, Jiang Z, Zhang Y, Pang S, Hou Y, Liu Y et al. A nomogramic model for predicting the left ventricular ejection fraction of STEMI patients after thrombolysis-transfer PCI. Frontiers in Cardiovascular Medicine. 2023;10:1178417. DOI: 10.3389/fcvm.2023.1178417
- Von Lewinski D, Kolesnik E, Tripolt NJ, Pferschy PN, Benedikt M, Wallner M et al. Empagliflozin in acute myocardial infarction: the EMMY trial. European Heart Journal. 2022;43(41):4421–32. DOI: 10.1093/eurheartj/ehac494
- Bellis A, Mauro C, Barbato E, Trimarco B, Morisco C. The PARA-DISE-MI trial: a new opportunity to improve the left ventricular remodelling in reperfused STEMI. ESC Heart Failure. 2022;9(6):3698– 701. DOI: 10.1002/ehf2.14159